

Рис. 1. Пациент К. Фиброма собственной связки надколенника.

На МР-томограмме в сагиттальной плоскости (а) выявляется опухоль с гиперинтенсивным сигналом в режиме STIR, характеризующаяся неоднородным сигналом в аксиальной плоскости в режиме T2 (б); на томограмме в режиме DWIBS (в) опухоль имеет высокую интенсивность сигнала.

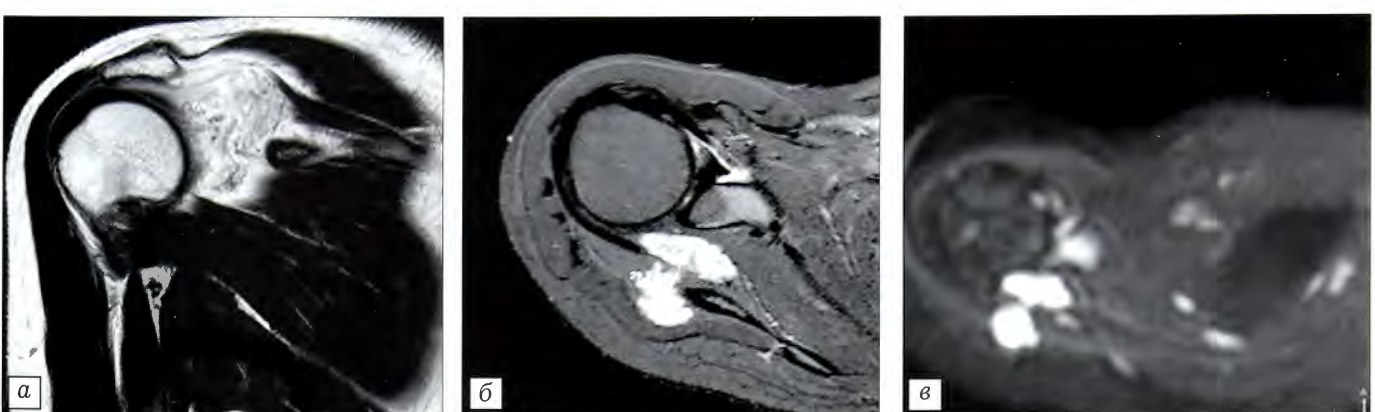


Рис. 2. Пациент Н. Синовиома плечевого сустава.

На МР-томограмме в сагиттальной плоскости (а) выявляется опухоль с неоднородным гиперинтенсивным сигналом в режиме T2, с гиперинтенсивным сигналом в аксиальной плоскости (б) в режиме STIR; на томограммах в режиме DWIBS (в) опухоль имеет высокую интенсивность сигнала.

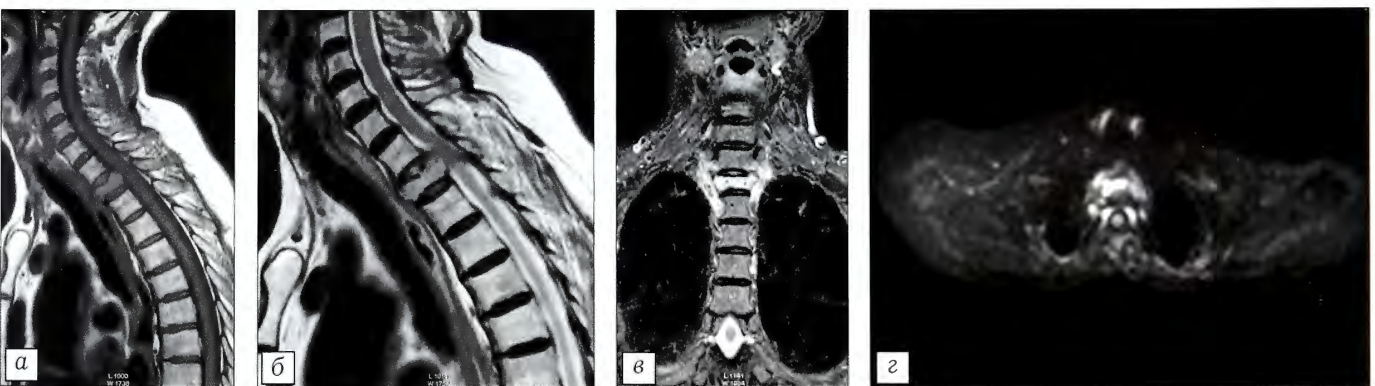


Рис. 3. Пациент В. Патологический перелом Th2 позвонка на фоне метастатического поражения.

На МР-томограмме в сагиттальной плоскости выявляется опухоль с гипоинтенсивным сигналом в режиме T1 (а) и изоинтенсивным — в режиме T2 (б), с гиперинтенсивным сигналом в коронарной плоскости (в) в режиме STIR; на аксиальных томограммах в режиме DWIBS (г) опухоль имеет высокую интенсивность сигнала.

же уверенно при DWIBS-скрининге всего тела верифицируются лимфопролиферативные заболевания: выявляются как множественные группы увеличенных лимфоузлов с повышенной яркостью (рис. 9), так измененные внутренние органы и костная ткань при лимфомах IV–V стадий (рис. 10).

Таким образом, в ходе настоящей работы подтверждена [13] высокая специфичность МРТ в ре-

жиме DWIBS к солитарным и множественным неопластическим процессам по сравнению со стандартными исследованиями с применением контрастирующих агентов или радиоизотопных препаратов. Пример МР-томограмм пациента с множественным метастатическим поражением смешанного характера (рис. 8) показывает, что часть очагов (остеобластического характера) при радиоизотопном скрининге DWIBS к

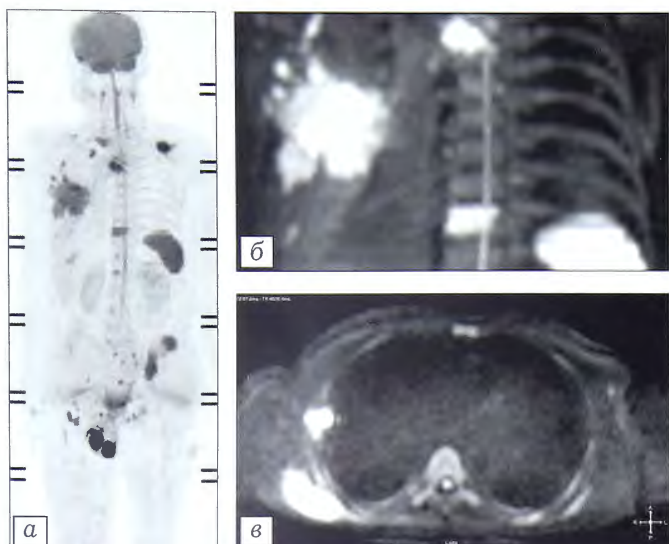


Рис. 4. Пациент Ф. Остеосаркома лопатки.

На МРТомограмме всего тела (а), объемной реконструкции (б) и аксиальной томограмме (в) в режиме DWIBS выявляются опухоль с гиперинтенсивным сигналом, множественное метастатическое поражение позвоночника, ребер, ключицы, крыла левой подвздошной кости.

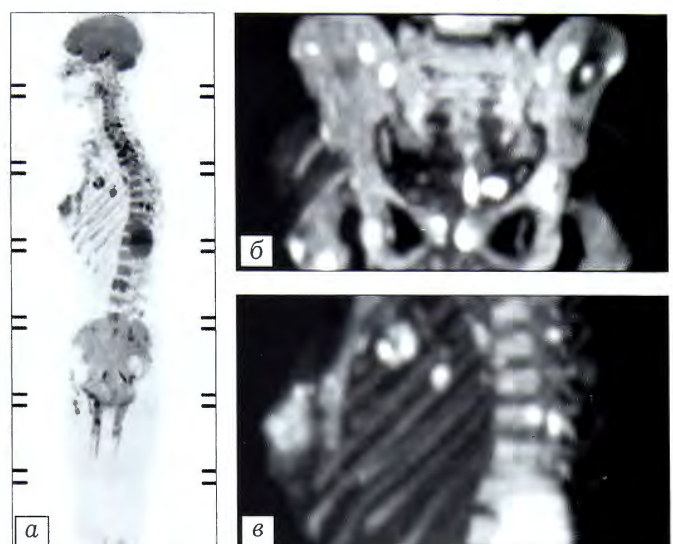


Рис. 5. Пациент М. Опухоль молочной железы.

На МРТомограмме всего тела (а), объемной реконструкции (б, в) в режиме DWIBS выявляется опухоль с гиперинтенсивным сигналом, множественное метастатическое поражение позвоночника, легких, костей таза, верхней трети правой бедренной кости.

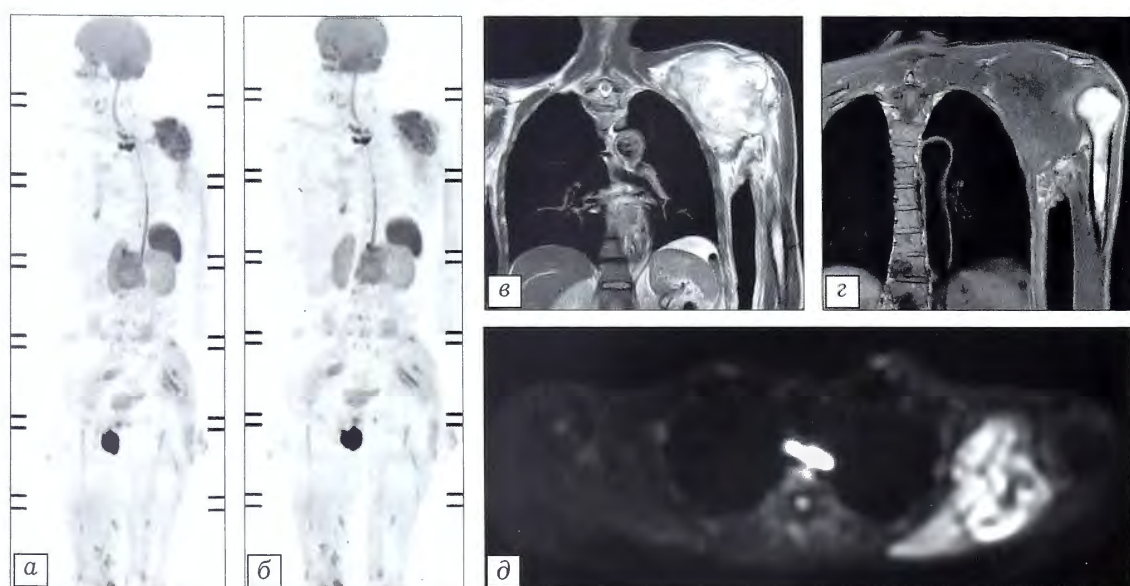


Рис. 6. Пациент Л. Хондросаркома лопатки.

На МРТомограмме всего тела в режиме DWIBS (а, б), коронарных плоскостях в режимах T2 и T1 (в, г) и в аксиальной плоскости (д) в режиме DWIBS выявляется опухоль с гиперинтенсивным сигналом в режимах T2 и DWIBS и гипоинтенсивным — в режиме T1 с множественным метастатическим поражением позвоночника, паравертебральных лимфатических узлов.

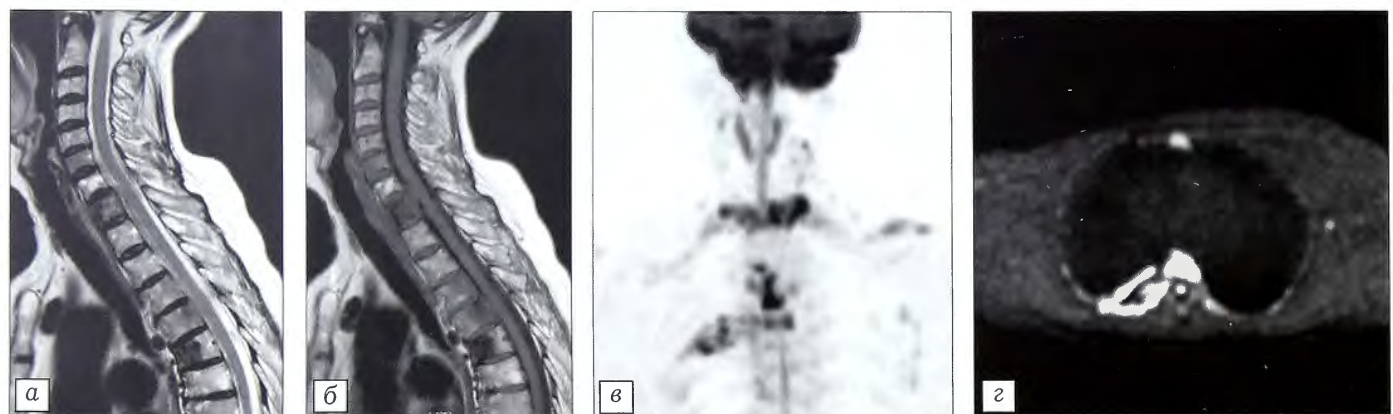


Рис. 7. Пациент К. Хондросаркома лопатки.

На МРТомограмме в сагиттальных плоскостях в режимах T2 и T1 (а, б), в объемной реконструкции (в) и аксиальной плоскости (г) в режиме DWIBS выявляется множественное метастатическое поражение позвоночника (остеолитического и остеобластического характера), ребер с неоднородным сигналом в режимах T2 и T1 и гиперинтенсивным сигналом в режиме DWIBS.

